

4.3.1964 ✓

С 332  
К-207



ОБЪЕДИНЕННЫЙ ИНСТИТУТ ЯДЕРНЫХ ИССЛЕДОВАНИЙ  
ЛАБОРАТОРИЯ ТЕОРЕТИЧЕСКОЙ ФИЗИКИ

Эдвард Капусник

P-1560

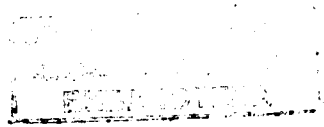
О ДВУХФОТОННОЙ ДИАГРАММЕ  
В РАССЕЯНИИ ЭЛЕКТРОНОВ  
НА ПРОТОНАХ

Дубна 1964

Эдвард Капусцик<sup>x/</sup>

2289/3 48.

О ДВУХФОТОННОЙ ДИАГРАММЕ  
В РАССЕЯНИИ ЭЛЕКТРОНОВ  
НА ПРОТОНАХ



---

<sup>x/</sup> Постоянный адрес: Институт ядерной физики, Краков, Польша.

Во многих случаях в качестве экспериментальной проверки достаточности для описания  $e-p$  рассеяния только одной однофотонной диаграммы рассматривают линейную зависимость сечения этого процесса от  $\tan^2 \frac{\theta}{2}$  ( $\theta$  - угол рассеяния в лабораторной системе координат). Однако, как будет показано ниже, к этому критерию надо относиться с определенной осторожностью.

Рассмотрим для этого амплитуду  $e-p$  рассеяния

$$\begin{aligned} & \langle p_2 s_2 ; q_2 \sigma_2 | S | p_1 s_1 ; q_1 \sigma_1 \rangle = \\ & = \bar{u}^{\sigma_2}(q_2) \int dx dy e^{i q_1 x - i q_2 x} \langle p_2 s_2 | \frac{\delta^2 S}{\delta \bar{\psi}(x) \delta \psi(y)} | p_1 s_1 \rangle u^{\sigma_1}(q_1), \end{aligned} \quad (1)$$

где  $q_1$  и  $q_2$  - импульсы электрона до и после столкновения,  $p_1$  и  $p_2$  - аналогичные импульсы протона, индексами  $\sigma_1, \sigma_2$  и  $s_1, s_2$  отмечены спиновые состояния соответственно электрона и протона.

Если ограничимся рассмотрением лишь электромагнитного  $e-p$  взаимодействия, то матричный элемент (1) можно разложить по степеням заряда  $e$ , и для двух первых членов разложения получим следующее выражение:

$$\begin{aligned} & \langle p_2 s_2 | \frac{\delta^2 S}{\delta \bar{\psi}(x) \delta \psi(y)} | p_1 s_1 \rangle = \\ & = e \delta(x-y) \gamma_\mu \int dz D_{\mu\nu}^{\circ}(x-z) \langle p_2 s_2 | \frac{\delta S}{\delta A_\nu(z)} S^+ | p_1 s_1 \rangle \\ & - e^2 \gamma_\mu S^{\circ}(x-y) \gamma_\nu \int dz_1 dz_2 D_{\mu\lambda}^{\circ}(x-z_1) \times \\ & \times \langle p_2 s_2 | \frac{\delta^2 S}{\delta A_\lambda(z_1) \delta A_\rho(z_2)} S^+ | p_1 s_1 \rangle D_{\nu\rho}^{\circ}(z_2). \end{aligned} \quad (2)$$

В этой формуле  $D^{\circ}(x)$  и  $S^{\circ}(x)$  - причинные функции соответственно фотона и электрона.

Подставляя выражение (2) в (1) и переходя к импульсному представлению, получаем:

$$\begin{aligned} & \langle p_2 s_2 ; q_2 \sigma_2 | S | p_1 s_1 ; q_1 \sigma_1 \rangle = -(2\pi)^4 i e^2 \delta(p_1 + q_1 - p_2 - q_2) \times \\ & \times \{ \bar{u}(q_2) \gamma_\mu u(q_1) \frac{1}{Q^2} \bar{v}(p_2) [\gamma_\mu F_1(C^2) + \sigma_{\mu\nu} Q_\nu F_2(C^2)] v(p_1) \} \end{aligned} \quad (3)$$

$$\begin{aligned}
& -e^2 \int d^4 k_1 d^4 k_2 \bar{u}(q_2) \left[ \gamma_\mu \frac{i(\hat{q}_1 - \hat{k}_1) - m}{(q_1 - k_1)^2 + m^2} \gamma_\nu + \right. \\
& \left. + \gamma_\nu \frac{i(\hat{q}_1 + \hat{k}_2) - m}{(q_1 + k_2)^2 + m^2} \gamma_\mu \right] u(q_1) \cdot \frac{1}{k_1^2} \cdot \frac{1}{k_2^2} \times \\
& \times \bar{v}(p_2) T_{\mu\nu}(p_2, k_2; p_1, k_1) v(p_1) \}. \quad (3)
\end{aligned}$$

Здесь спиноры  $\bar{v}(p_2)$  и  $v(p_1)$  описывают нуклон,  $F_1(Q^2)$  и  $F_2(Q^2)$  — обычные электромагнитные формфакторы нуклона,  $T_{\mu\nu}(p_2, k_2; p_1, k_1)$  — амплитуда виртуального комптон-эффекта на нуклоне,  $k_1$  и  $k_2$  — импульсы виртуальных фотонов и  $Q_\mu = (q_1 - q_2)_\mu = (k_1 - k_2)_\mu$ .

Если учитывать только первый член разложения (3), то получим известную формулу Розенблюса. Как хорошо известно, при фиксированном значении передаваемого импульса

$$Q^2 = \frac{4E^2 \sin^2 \frac{\theta}{2}}{1 + \frac{2E}{M} \sin^2 \frac{\theta}{2}}$$

( $E$  — энергия электрона в лабораторной системе координат), отношение розенблюсовского сечения  $(\frac{d\sigma}{d\Omega})_R$  к сечению меллеровского рассеяния  $(\frac{d\sigma}{d\Omega})_M$  линейно зависит от величины  $\tan^2 \frac{\theta}{2}$ .

Считается, что учет следующих членов разложения (3) (т.е. двухфотонных диаграмм) даст отклонения от этой зависимости. Чтобы ответить на этот вопрос, необходимо прежде всего знать амплитуду виртуального комптон-эффекта на нуклоне  $T_{\mu\nu}(p_2, k_2; p_1, k_1)$ . Как известно, эта амплитуда разлагается на 18 линейно независимых градиентно-инвариантных структур<sup>1/1</sup>. Для экономии места мы не будем их здесь выписывать, предполагая для них тот же вид, что и в работе<sup>1/1</sup>. Поскольку для нашей цели достаточно знать точно тип членов, возникающих в сечении вследствие учета виртуального комптон-эффекта, мы не будем выписывать также и полного выражения для сечения, а рассмотрим лишь существенные члены. Для этого, кроме вектора  $Q_\mu$ , определим еще два вектора, ортогональные к  $Q$ :

$$P_\mu = (p_1 + p_2)_\mu$$

и

$$\Delta_\mu = (q_1 + q_2)_\mu.$$

Воспользовавшись теоремой о главном вкладе в радиационные интегралы из области инфракрасной катастрофы<sup>1/2</sup>, получим для сечения выражение следующего типа:

$$\frac{d\sigma}{d\Omega} = \left(\frac{d\sigma}{d\Omega}\right)_R + \frac{e^4}{4\epsilon_1 \epsilon_2 E_1 E_2 J} \{ A(Q^2) \cdot (P\Delta)^3 + B(Q^2) \cdot (P\Delta)^2 + C(Q^2) \cdot (P\Delta) + D(Q^2) \}. \quad (4)$$

При выводе этого выражения не сделано никаких предположений о характере амплитуды виртуального комптон-эффекта, и поэтому к исследованию следствий, возникающих отсюда, следует прежде всего подходить экспериментально. Функции  $A(Q^2)$ ,  $B(Q^2)$ ,  $C(Q^2)$  и  $D(Q^2)$  являются очень сложными, не зависящими друг от друга функциями всех 18 амплитуд виртуального комптон-эффекта и формфакторов  $F_1$  и  $F_2$ .

В лабораторной системе координат:

$$\begin{aligned}
\frac{d\sigma}{d\Omega} = & \left(\frac{d\sigma}{d\Omega}\right)_R + e^2 \left(\frac{d\sigma}{d\Omega}\right)_M \{ A(Q^2) + \\
& + \bar{B}(Q^2) \tan^2 \frac{\theta}{2} + \bar{C}(Q^2) \left[ \tan^2 \frac{\theta}{2} + \frac{1 + \tan^2 \frac{\theta}{2}}{\frac{E}{M}} \right] + \\
& + \bar{D}(Q^2) \left[ \tan^2 \frac{\theta}{2} + \frac{1 + \tan^2 \frac{\theta}{2}}{\frac{E}{M} \tan^2 \frac{\theta}{2}} \right] \}, \quad (5)
\end{aligned}$$

где функции  $\bar{A}(Q^2)$ , ...,  $\bar{D}(Q^2)$  получаются из функции  $A(Q^2)$ , ...,  $D(Q^2)$  путем соответствующих преобразований, связанных с переходом в лабораторную систему координат.

Из формулы (5) видно, что в отличие от  $(\frac{d\sigma}{d\Omega})_R$ , кроме членов, линейно зависящих от  $\tan^2 \frac{\theta}{2}$ , здесь имеются также члены с другой зависимостью. Однако легко увидеть, что для энергии  $E \gg M$  эти члены будут малы по сравнению с остальными. Даже для  $E \sim M$  значительные отклонения от линейности должны проявиться лишь при  $\tan^2 \frac{\theta}{2} < 1$ .

Действительно, первый из членов, нарушающих линейность, приблизительно линейно зависит от  $\tan^2 \frac{\theta}{2}$ , а второй мал при  $\tan^2 \frac{\theta}{2} > 1$ . Только в случае  $E \ll M$  отклонения от линейности могут быть велики для всех углов. Но в этом случае малы доступные значения  $Q^2$ , и поэтому главную роль в выражении (5) будет играть член  $(\frac{d\sigma}{d\Omega})_R$ . Отсюда следует, что без детальной оценки величины функций

$A(Q^2)$ , ...,  $D(Q^2)$  на основании экспериментальных данных о сечении  $\frac{d\sigma}{d\Omega}$  нельзя однозначно ответить на вопрос о вкладе двухфотонного обмена в  $e-p$  рассеяние, если пользоваться только критерием линейности. Необходимо поэтому обратиться к другим экспериментальным критериям, которые освободят нас от фона, связанного с  $(\frac{d\sigma}{d\Omega})_R$ , например, к определению разницы сечений рассеяния электронов и позитронов на нуклонах или к измерениям поляризации нуклонов отдачи.

В заключение выражаю благодарность В.С. Барашенкову за ценные обсуждения работы.

#### Л и т е р а т у р а

1. В.К. Федянин. Кинематика процессов с двумя фотонами. Препринт МИАН СССР. Москва, 1961.
2. R.D.Yennie, S.C.Frautschi and H.Suura. Annals of Phys., 13, 379 (1961).

Рукопись поступила в издательский отдел  
12 февраля 1964 г.